

## *Chlorella* 의 比成長率에 미치는 有効磷酸量과 그 理論的 分析

李 周 植 · 張 楠 基 · 李 泰 雨

(서울大學校 師範大學 生物科)

### Theoretical analysis on the correlation between the amount of available phosphorus and the growth rate of *Chlorella ellipsoidea*.

Lee, Zoo Shik. Chang, Nam Kee. and, Rhee, Tai Woo.

(Department of Biology, College of Education, Seoul National University.)

#### Abstract.

Theoretical analysis reported in this paper is on the varieties of the growth rate of *Chlorella ellipsoidea* due to the amount of available phosphorus for the purpose of the continual mass culture.

Available phosphorus in the culture media of the *Chlorella* was also estimated at a limiting factor as this experiment.

The equation between the concentration of *Chlorella*  $n$  and growth period  $t$  is

$$\frac{dn}{dt} = Kn,$$

and the functional relation between the Specific growth rate  $K$  and steady state period  $T$  is the following :

$$K = \frac{2.303}{T} \log \frac{n}{n_0} \quad (n_0 = \text{initial concentration}).$$

#### 緒 論

*Chlorella* 的 大量培養을 目的으로 한 合理的이고 理論의 研究를 為해 有効磷酸量의 培地濃度에 따른 *Chlorella ellipsoidea* 的 Specific growth rate의 變化量 测定하고 그 結果로써 連續的 大量培養의 基礎 理論을 展開하였다.

#### 材料 및 方法

本實驗에서 使用한 菌株는 韓國에서 分離한 *Chlorella ellipsoidea*(Y 511)로 液體培養基內에서 培養한 *Chlorella*의 一定量을 實驗群의 培養基에 移植 25°C±1°C에서 2300 lux의 光을 고르게 받도록 電光을 利用하였다.

培地의 調成은 phosphorus의 濃度에 따른 成長率의 變化 觀察이 容易하여 他無機養料의 影響을 可能한 限避하기 為하여 1 당 KNO<sub>3</sub> 0.25g. MgSO<sub>4</sub> · 7H<sub>2</sub>O 0.5g. KH<sub>2</sub>PO<sub>4</sub> 0.25g FeSO<sub>4</sub> · H<sub>2</sub>O 0.0028g.

의 量을 含有한 培地(中村)를 基準으로 하여 phosphorus의 增減에 따른 K의 減量은 KCl로 补充하였다.

그리고 一定 間隙을 두고 培地를 친 담하여 成長을 促進시켰다.

培養液中の phosphorus의 量은 Dickman & Bray (1940)의 方法으로 檢定하였으며 *Chlorella*의 濃度는 Clinical electrophotometer를 使用하여 Logaristic scale로 決定하였고 *Chlorella Cell*의 Count는 Thoma Zeiss의 血球計算器를 使用하여 算定하였다.

#### 結果 및 考察

- 1) 有効磷酸量에 依한 *Chlorella*의 成長率의 變化  
培養基 中에 含有되어 있는 有効磷酸의 濃度를 tap water에 0.05, 0.15, 0.25, 0.35gm./l.로 變化시켰을 때의 *Chlorella ellipsoidea* (Y511)의 成長曲線은 Fig. 1과 같다. 勿論 本實驗에 使用한 tap water는 微量의 磷酸을 含有하고 있으나 *Chlorella*



다시  $n$  을 最初의 濃度로 하고  $x$  를  $T$  時間동안의 增加濃度라고 하면 (1)式은 다음과 같이 變形할 수 있다.

$$\frac{d(n+x)}{dt} = K(n+x)$$

따라서

$$K = \frac{2.303}{T} \log \frac{n+x}{n} \quad \dots\dots\dots(5)$$

그러므로 (5)式에 依하여 Specific growth rate  $K$  를 計算할 수 있다.

有効磷酸濃度에 依한 *Chlorella ellipsoidea*의 Specific growth rate 變化量 時間に 따라 測定한 結果는 table 1 과 같으며 時間に 經過할수록  $K$  는 減少하여 차츰 零에 無限히 가까워져 Steady state に 到達한다는 것을 알 수 있다.

Table 1. Specific growth rate varieties between amounts of available phosphorus and *Chlorella* concentration.

Time	Pgm/l Tap water	0,05	0,15	0,25	0,35
24 hrs.	2.56531	3,40176	3,76195	4,24926	4,44340
48 " "	1,87947	1,25306	1,38663	1,60978	1,61979
72 " "	0,40555	1,13169	1,19410	1,19410	1,09876
96 " "	0,18239	0,69320	0,83290	0,26231	0,26231

(3) *Chlorella* 의 Specific growth rate 的 變化.

$K$  的 變化는 (5)式에 依하여 充分히 理解할 수 있다. *Chlorella* 的 濃度가 一定할 때 即  $\log \frac{n+x}{n}$  が 1, 2, 3, ..... 等으로 變化할 경우를 生覺하면  $T$  的 變化에 依한  $K$  的 變化 曲線을 나타내는 式은

$$K(1) = \frac{2.303}{T}$$

$$K(2) = \frac{4.606}{T}$$

$$K(3) = \frac{6.906}{T} \quad \dots\dots\dots$$

等으로 表示된다.

上記式에서 알 수 있는 바와 같이  $T$  에 따른  $K$  的 變化는 雙曲線이나 growth rate 를 表示하는 것으로 3 상한의 경우는 해당되지 않으며 다만 1 상한의 경우만이  $K$  的 變化를 나타내는 曲線이다.

그 結果는 Fig. 2 와 같다.

다음에 (5)式에서  $T$  를 1, 2, 3 等으로 一定하게 하고 *Chlorella* 的 增加濃度에 依한  $K$  的 變化는

$$K_1 = 2.303 \log \frac{n+x}{n}$$

$$K_2 = 1.152 \log \frac{n+x}{n}$$

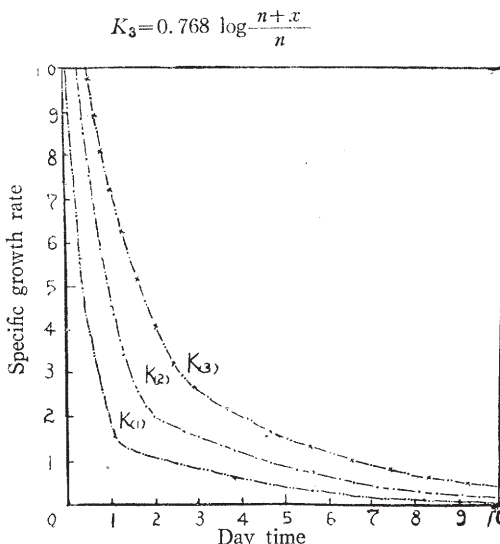


Fig. 2. Relation between the time and the Specific growth rate.

로 表示된다. 다시 初期 *Chlorella* 的 濃度  $n$  을  $10^1, 10^2, 10^3, \dots /ml$  等으로 接種하였을 때를 고려하면 上記  $K_1$  은

$$K_1' = 2.303 \log \left( 1 + \frac{x}{10} \right)$$

$$K_1'' = 2.303 \log \left( 1 + \frac{x}{100} \right)$$

$$K_1''' = 2.303 \log \left( 1 + \frac{x}{1000} \right) \dots\dots\dots$$

$$K_2 \text{ 는 } K_2' = 1.152 \log \left( 1 + \frac{x}{10} \right)$$

$$K_2'' = 1.152 \log \left( 1 + \frac{x}{100} \right)$$

$$K_2''' = 1.152 \log \left( 1 + \frac{x}{1000} \right) \dots\dots\dots$$

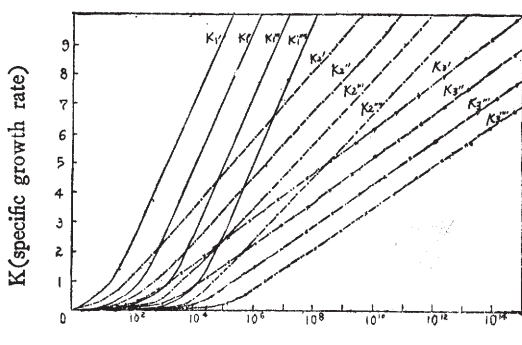
$$K_3 \text{ 는 } K_3' = 0.768 \log \left( 1 + \frac{x}{10} \right)$$

$$K_3'' = 0.768 \log \left( 1 + \frac{x}{100} \right)$$

$$K_3''' = 0.768 \log \left( 1 + \frac{x}{1000} \right) \dots\dots\dots$$

等으로 表示된다. 이들 式이 나타내는 曲線은 Fig. 3 과 같으며 이것은 *Chlorella* 的 增加濃度에 依한  $K$  常數의 變化樣狀을 보여 주는 것이다.

Fig. 2, 3 에서 알 수 있는 바와 같이 比成長率의 變化는 接種初期에는 時間의 經過에 따라서 대단히 變화가 甚하나 차차 時間이 경과되면 거의 零에 가까우리 만큼 變化가 완만하여 져서 Steady state に 到達한다는 것을 意味한다. 이것은 Fig. 1 的 結果와 잘 부합되는 事實이다.



**Fig. 3.** Relation between the increase concentration of *Chlorella* and Specific growth rate

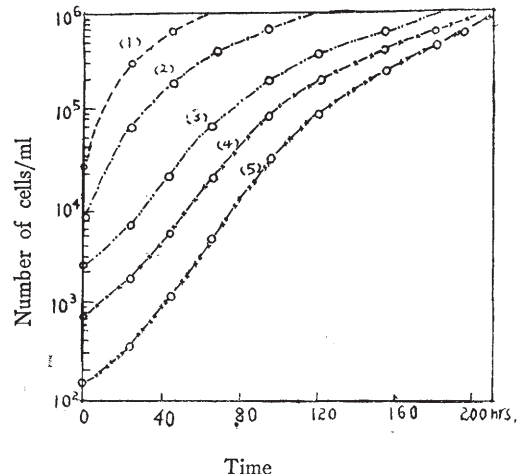
그리고  $K$ 는  $T$ 가 일정할 때 증가하는 *Chlorella*의 浓度가  $10^2 \sim 10^4 \text{ ml}$ 範圍까지는 그 變化率은 완만하여 점차 變하나 그 以上이 되면 直線으로 나타나서 그 變化率은  $T$ 의 値에 따라 일정하게 되다.

또한初期 *Chlorella* 濃度의 變化에는 서로 平行한 直線으로 그 變化率은 同一하다. 이 사실은 初期 *Chlorella* 의 濃度는 *Chlorella* 의 成長에 그리 큰 영향을 주지 않는다는 것을 알 수 있다.

실제로 Fig. 4에서 보는 바와 같이 *Chlorella*의 초기濃度는  $0.5 \times 10^2$ ,  $7.5 \times 10^2$ ,  $2.5 \times 10^3$ ,  $7.5 \times 10^3$ ,  $2.5 \times 10^4/ml$  등으로區別하여濃度가  $6.5 \times 10^5/ml$ 로增加하는데 要하는 時間은 193, 180, 154, 96, 44, hours이나變化樣狀으로推定할때 어느時間에到達하면 *Chlorella*의濃度는 Steady state에 이르게된다.

따라서 *Chlorella*의初期濃度差는 培養初期에는  
큰 영향을 받으나 限界濃度에 到達하는데 다만 時  
間의 差異만이 있을 뿐 初期濃度에는 영향을 받지  
않는다.

이것은 理論式(5)와 正確히 부합한다는 것을 立證하여 주는 것으로 料된다.



**Fig. 4.** Effect of the initial amounts of *Chlorella ellipsoidea* in the media on the growth per ml of inoculated *Chlorella* suspension:

- (1)  $2.5 \times 10^4/\text{ml}$ ; (2)  $7.5 \times 10^3/\text{ml}$ ; (3)  $2.5 \times 10^3/\text{ml}$ ;  
 (4)  $7.5 \times 10^2/\text{ml}$ ; (5)  $0.5 \times 10^2/\text{ml}$ .

#### (4) *Chlorella* 의 成長限界濃度

*Chlorella*의 成長은 接種後 時間이 經過하면 Steady state에 到達한다. 이 때의 *Chlorella*의 濃度를 成長界限濃度라고 할 수 있다.

*Chlorella*의 成長限界濃度를 알게 되면 그濃度에 到達하는데 必要한 時間  $T$ 를 計算할 수 있다.

(4)式에서  $T$ 를 求하면

$$T = \frac{2.303}{K} \log \frac{n}{n_0} \dots \dots \dots \quad (6)$$

即 (6)式에서  $n$  濃度에 到達하는데 必要한 時間은  
일일히 成長을 測定하여 成長曲線을 그려보지 않아  
도  $K$  만 定해지면 쉽게 推定할 수 있다.

*Chlorella*의 濃度가 初期濃度  $n_0$ 의  $10^1, 10^2, 10^3, 10^4, 10^5, \dots, 10^m$  倍로 增加하는데 必要한 時間  $T$ 는 다음과 같이 計算할 수 있다.

$$T10^1 = \frac{2.303}{K} \log \frac{10n_o}{n_0} = \frac{2.303}{K} \log 10 = \frac{2.303}{K}$$

$$T10^2 = \frac{2.303}{K} \log \frac{10n_o}{n_o} = \frac{2.303}{K} \cdot 2 \cdot \log 10 = \frac{4.606}{K}$$

$$T \cdot 10^3 = \frac{2.303}{K} \log \frac{10n_o}{n_o} = \frac{2.303}{K} \cdot 3 \cdot \log 10 = \frac{6.909}{K}$$

$$T \cdot 10^4 = \frac{2.303}{K} \log \frac{10n_o}{n_o} = \frac{2.303}{K} \cdot 4 \cdot \log 10 = \frac{9.212}{K}$$

$$T \cdot 10^5 = \frac{2.303}{K} \log \frac{10n_o}{n_o} = \frac{2.303}{K} \cdot 5 \cdot \log 10 = \frac{11.515}{K}$$

$$T10^m = \frac{2.303}{K} \log \frac{10^m n_o}{n_o} = \frac{2.303}{K} \cdot m \cdot \log 10 = \frac{2.303 \times m}{K}$$

$$T10^m = \frac{2.303}{K} \log \frac{10^m n_o}{n_o} = \frac{2.303}{K} \cdot m \cdot \log 10 = \frac{2.303 \times m}{K}$$

本實驗의 結果로 測定된 phosphorus 의 濃度에 따른  $K$  的 差異에 依한 steady state 에 到達하는데 必要한 理論的인 時間  $T$  는 Table 2 와 같다.

Table の 計算結果는 Fig 1 의 成長曲線의 結果와一致된다.

이것은 *Chlorella* 의 大量生產을 為한 繼續培養法의 設計에 必要한 事項으로 반드시 考慮하여야 할 것이다.

Table 2. Time varieties between amounts of avail-

able phosphorus and cultured *Chlorella* Concentration.

<i>Chlorella</i> concentration	Pgm/l	Tap water	0.05	0.15	0.25	0.35
$\times 10^1/\text{ml}$		0.88	0.67	0.60	0.54	0.52
$\times 10^2/\text{ml}$		1.76	1.35	1.21	1.09	1.04
$\times 10^3/\text{ml}$		2.65	2.03	1.81	1.62	1.56
$\times 10^4/\text{ml}$		3.54	2.70	2.42	2.16	2.08

## 摘要

本研究는 韓國에서 分離 培養한 *Chlorella ellipsoidea*(Y 511) 菌株에 對한 有効磷酸의 濃度에 따른 growth rate 를 調査하여 mass culture 를 為한 基本的인 理論을 數學的으로 分析 明確하려고 實驗하였으며 그 結果는 다음과 같다.

① *Chlorella* 的 培養液中에 含有되어 있는 有効磷酸量은 *Chlorella* 的 成長率에 가장 큰 영향을 주는 하나의 環境要因이다.

② *Chlorella* 的 成長率은

$$\frac{dn}{dt} = Kn$$

으로 表示되며 이 式에서  $K$  是 Specific growth rate 이다.

③ *Chlorella* 的 Specific growth rate  $K$  는

$$K = \frac{2.303}{T} \log \frac{n+x}{n}$$

로 算定할 수 있다.

④ *Chlorella* 的 成長界濃度에 到達하는데 必要한 時間  $T$  는

$$T = \frac{2.303}{K} \log \frac{n}{n_0}$$

로 推定할 수 있다.

## References

- 1) Chang, N.K., 1967. Mathematical analysis on the growth rate in *Chlorella* and mineral nutrients. The college of Education Review 9(1): 141-146
- 2) Correll, D.L. and N.E. Jolbert, Ribonucleic acid-polyphosphate algae. I. Isolation and physiology. Plant physiol. 37: 627-636
- 3) \_\_\_\_\_ 1964. Ribonucleic acid polyphosphate from algae. II. Physical and Chemical properties of the isolated complexes. Plant & Cell physiol., 5: 171-191
- 4) \_\_\_\_\_ 1965. Ribonucleic acid-phosphate from algae III. Hydrolysis studies. Plant & Cell physiol., 6: 661-669
- 5) Dickman, S. and R.H. Bray. 1940 Colorimetric determination of phosphate. Industr. Engng. Chem. 12: 589-592
- 6) Lee, Y.N. 1964. Studies on the phosphate metabolism in *Chlorella* with special reference to polyphosphate, Kor. J. Microbiol 2(1) 1-11
- 7) \_\_\_\_\_ and U.S. Shim. 1966. Turnover of  $^{32}\text{P}$  in  $^{32}\text{P}$ -labeled *Chlorella* cells in a P-free medium accepted. Kor. J.B 9(1)
- 8) \_\_\_\_\_ and P. Chin, 1966. Turnover of  $^{32}\text{P}$  and Total P in  $^{32}\text{P}$ -labeled *Chlorella* Cells in a Standard "Cold" Medium Kor. J. Microbiol. 4(1) 14-20
- 9) Miyachi S. and H. Tamiya, 1961. Distribution and turnover of phosphate compounds in growing *Chlorella* cells. plant & cell physiol 2: 405-414.
- 10) Wintermans, J.F.G.M., 1965. Polyphosphate formation in *Chlorella* in relation to photosynthesis. Mededel, Landbouwhogeschool Wageningen, 55, 69:126